

## ارایه یک مدل چندهدفه یکپارچه برای مکانیابی- مسیریابی و موجودی تسهیلات امدادی با در نظر گرفتن چند مد حمل و نقل و تور پوششی

### مقاله پژوهشی

اسفتديار عطائي<sup>\*</sup> ، دانشجوی دکتری، گروه مهندسی صنایع، دانشگاه پیام نور، تهران، ایران

رامین صادقيان، دانشيار، گروه مهندسی صنایع، دانشگاه پیام نور، تهران، ایران

مریم حامدی، استادیار، گروه مهندسی صنایع، دانشگاه پیام نور، تهران، ایران

\*پست الکترونیکی نویسنده مسئول: ataei56@gmail.com

دریافت: ۹۸/۰۳/۱۰ - پذیرش: ۹۹/۱۱/۰۵

صفحه ۶۶-۴

### چکیده

یکی از مهمترین بخش‌ها در هنگام وقوع هر حادثه، مسأله کنترل و مدیریت برای قبل و بعد از بحران است و چنانچه این مسئله مورد توجه قرار نگیرد فاجعه ثانویه دیگری در دل فاجعه اصلی رخ می‌دهد. بنابراین در این پژوهش، یک مدل یکپارچه تصادفی پیشنهاد شده است. که در آن دو دسته تصمیمات در نظر گرفته شده است؛ تصمیمات مرحله اول تعیین و کنترل میزان موجودی مراکز توزیع و مکان‌یابی مراکز توزیع برای قبل از بحران و تصمیمات مرحله دوم، برای بعد از بحران، شامل بررسی جریان مجموعه‌های احتمالی از اقدامات مهندسی و خانمان‌ها و اقلام امدادی در شیوه و تخصیص وسائل نقلیه برای این جریان می‌باشد. اهداف این مقاله شامل (۱) پیشینه کردن احتمال عبور موفق از مسیرها با افزایش قابلیت اطمینان مسیرها، (۲) کمینه کردن هزینه‌های امدادی قبل و بعد از وقوع بحران با در نظر گرفتن پنجره زمانی، (۳) کمینه کردن پیشینه تفاضلی پوشش داده شده برای کالاهای امدادی برای تمامی مراکز در سناریوها و حالات ممکن می‌باشد. در نظر گرفتن حالت عدم قطعیت سناریویی به همراه عدم قطعیت مسیر و تقاضا، چند کالایی، چند مد حمل و نقل و تور پوششی از جمله نوآوری‌های این پژوهش بشمار می‌آید. برای انتبار سنجی مدل پیشنهادی در ابعاد کوچک و متوسط از روش محدودیت اپسیلون در محیط نرم افزاری گمز و برای مطالعه موردنی (منطقه ۱ شهر تهران) در ابعاد بزرگ با استفاده از الگوریتم علف هرز حل شده است. نتایج تحلیل بیانگر آن است که الگوریتم علف هرز با کمترین خطای نسبت به حل دقیق و زمان کمتر، قادر به حل مدل خواهد بود و همچنین با افزایش ظرفیت‌های مراکز توزیع، هزینه کاهش می‌یابد، با افزایش تقاضا تعداد مراکز توزیع تأسیس شده افزایش شاعع پوششی، طول تور هزینه می‌یابد ولی تعداد نقاط حادثه دیده پوشش نیافر شده و هزینه امدادرسانی افزایش می‌یابد.

**واژه‌های کلیدی:** مکان‌یابی، مسیریابی، تور پوششی، مد حمل و نقل، پنجره زمانی

### ۱- مقدمه

حداده به مراکز درمانی که به صورت موقت در منطقه احداث شده‌اند تخصیص یابند. بنابراین، مکان بهینه جهت احداث این مراکز درمانی وقت باید تعیین شود. همچنین با توجه به اهمیت زمان امدادرسانی باید مسیریابی مناسب جهت رساندن خدمات به افراد آسیب دیده صورت گیرد (Davoodi and Goli, 2019). زیرا یکی از راهکارهای موثر جهت کاهش هزینه‌های مالی و صدمات جانی ناشی از

مدیریت بحران یکی از پر اهمیت‌ترین مباحث علمی- کاربردی امروز دنیاست که در چهار فاز اصلی پیشگیری، آمادگی، پاسخ دهی و بازیابی به مواجه موضع با پیامدهای احتمالی حادث دارد. یکی از فازهای مهم مدیریت بحران، فاز پاسخ‌گویی بوده و از جمله اقدامات مهم در این فاز، توزیع امداد و تخلیه قربانیان و مجروحان می‌باشد (Noham and Tzur, 2018).

داده‌های پایگاه‌های امدادرسان در این منطقه را برای اعتبار سنجی این زنجیره امداد پیشنهادی به کار می‌گیریم.

## ۲- پیشینه تحقیق

Zokaee, Bozorgi- Amiri, and Sadjadi (2016) در پژوهش خود یک زنجیره تامین سه سطحی شامل تامین کنندگان، مراکز توزیع امداد و محل‌های آسیب‌دیده را در نظر گرفتند. اهداف این پژوهش افزایش سطح رضایت آسیب‌دیدگان و کاهش هزینه‌ها بوده و برای این منظور جریمه‌هایی در صورت کمبود کالا در نظر گرفته شده است. مدل ارایه شده که دارای عدم قطعیت در پارامترهایی همچون تقاضا و هزینه بوده توسط بهینه‌سازی استوار حل شده است. مطالعه موردنی انجام شده در این پژوهش منطقه البرز می‌باشد که مستعد وقوع زلزله و حوادث طبیعی دیگر است. دیابت، جبارزاده و خسروجردی (Diabat, Jabbarzadeh and Khosrojerdi, 2019) یک مدل یکپارچه مکان‌یابی توزیع برای هماهنگ‌سازی پشتیبانی لجستیک و عملیات تخلیه در فعالیت‌های پاسخ‌گویی به بحران را ارایه نمودند. همچنین مدل، تخصیص بهینه نیروهای پزشکی را نیز در نظر گرفته است. مدل ارایه شده، یک مدل جریان شبکه چند کالایی عدد صحیح مختلط می‌باشد. هدف، حداقل کردن تأخیر در ارایه خدمات پزشکی به افراد مصدوم بوده و وسائل حمل و نقل به کارگرفته شده از انواع مختلف می‌باشند. نوآوری عمدۀ این پژوهش در نظر گرفتن قابلیت اطمینان برای زنجیره می‌باشد. حسینی‌نژاد و توکلی‌مقدم (Hosseiniinezhad and Tavakkoli-moghaddam, 2018) نسبت به مدل‌سازی تعیین مکان‌هاب‌های امدادی با اولویت مطالبات مصدومین حوادث جاده‌ای پرداخته‌اند و زمان را بصورت فازی در نظر گرفته و از روش‌های حل دقیق و الگوریتم فراتکاری ژئیک با مرتب سازی نامغلوب نسخه دوم (NSGA-II)<sup>۱</sup> برای حل مدل استفاده نموده‌اند. توکلی‌مقدم و رضیعی (Tavakkoli-Moghaddam, Raziei, and 2016) یک مسئله مسیریابی، مکان‌یابی و موجودی را در حالت چند دوره‌ای و چند محصولی به همراه ناوگان حمل و نقل ناهمگن در نظر گرفت. عدم قطعیت در

بحران‌ها این است که مکان‌های مناسب برای احداث مراکز درمانی موقع و مراکز اسکان موقع در زمان وقوع بحران تعیین شده و همچنین برنامه‌ریزی‌های مناسب برای تخصیص بخش‌های مختلف شبکه امداد در نظر گرفته شود (Burak et al., 2019). بنابراین، مکان‌یابی مناسب مراکز درمانی موقع و مراکز اسکان موقع و تخصیص بهینه آن‌ها می‌تواند خسارت‌های جانی و مالی را کاهش داده و هر گونه اقدام نادرست در این شرایط باعث افزایش چشمگیر این خسارات می‌شود. پس از وقوع بحران، با مشکلات عمده‌ای از قبیل کمبود موجودی برای عرضه و حمل و نقل بسیاری از کالاهای ضروری شامل خوراک، پوشاش، دارو، تجهیزات و پرسنل به نقاط آسیب دیده مواجه می‌شویم. همچنین تلاش امدادگران در طول شرایط اضطراری باید بر جستجو و نجات بازماندگان متتمرکز شود. بنابراین حمل و نقل تدارکات و پرسنل امداد و همچنین کنترل موجودی باید قبل از وقوع بحران مهیا باشد تا پس از وقوع بحران اقدامات سریع و موثر انجام پذیرد تا نرخ نجات افراد آسیب‌دیده بیشینه گردیده و هزینه عملیات کمینه شود. با توجه به اینکه عدم توجه به اثر متقابل فازهای مختلف مدیریت بحران بر روی یکدیگر می‌تواند مانع بسیار بزرگی برای واکنش موثر به بحران باشد. در واقع، بهینه‌سازی فعالیت‌های یکایک این فازها، لزوماً منجر به بهینه نمودن کل عملیات امداد نخواهد شد بدین ترتیب، یکپارچه‌سازی فازهای مدیریت بحران از عواملی است که تاکنون کمتر مورد توجه پژوهشگران بوده است و ضروری است که در مسائل بهینه‌سازی زنجیره امداد بحران در نظر گرفته شود. از این رو بنا بر اهمیت روز افزون مساله مدیریت بحران در دنیای کنونی، اینجا ما به مدل‌سازی تصمیمات مربوط به فازهای مختلف چرخه مدیریت بحران در قالب مدل‌های ریاضی یکپارچه سه هدفه با فرض شرایط واقعی بحران می‌پردازیم. بنابراین هدف این مطالعه، توسعه یک مدل جامع برای عملیات‌های یکپارچه در فازهای پاسخ و آماده‌سازی برای بلایاء در سطوح استراتژیک و عملیاتی می‌باشد. و مدل ریاضی پیشنهاد شده سه جزء مهم مکان‌یابی، جریان موجودی و شبکه توزیع را بهمراه مسیریابی در فاز آماده‌سازی و پاسخ برای اقلام امدادی به صورت یکپارچه در نظر می‌گیرد. با توجه به سطح بالای خطرپذیری منطقه یک شهر تهران در برابر زلزله،

حل مدل ارایه شده از رویکرد ترکیبی لکسیکوگرافی و وزن-دهی استفاده شده است. نتایج تحقیق بیانگر اهمیت کاهش زمان امدادرسانی در ساعات اولیه بحران بدلیل سازی شدن کمک‌های داوطلبانه به محل حادثه می‌باشد.

مورنو و همکاران (Moreno et al., 2018) به مسیریابی آمبولانس‌ها جهت امدادرسانی در شرایط بحران پرداختند. در نظر گرفتن محدودیت ترافیک از جمله نوآوری‌های این پژوهش بشمار می‌رود. مجروحان در نظر گرفته شده در این پژوهش به دو دسته مجروحان سرپاپی و مجروحان حاد تقسیم می‌شوند. هدف این پژوهش کمینه کردن زمان امدادرسانی به هر دو دسته مجروحان می‌باشد. مطالعه موردي در نظر گرفته شده شامل ۳۰ مجروح، ۷ عدد آمبولانس و ۴ مرکز درمان در شهر Jendouba در تونس می‌باشد. مدل پیشنهادی نیز با الگوریتم ژنتیک حل شده است. حبیبی، پایدار و اسدی (Habibi, Paydar and Asadi-Gangraj, 2018) یک مدل سه هدفه را به منظور طراحی سیستم توزیع کالاهای امدادی به مناطق آسیب‌دیده ارایه نمودند. اهداف این مدل شامل حداقل کردن هزینه کل، حداقل کردن کل زمان سفر و حداقل کردن حداقل برآورده‌سازی تقاضا در طول دوره برنامه‌ریزی بود. دو هدف اول مربوط به کارایی بوده و سومین هدف عدالت را در نظر می‌گیرد. نتایج حاصل از مدل بر روی یک مطالعه عملی بررسی شد. ناتالی و ویکتور (Nathalie and Victor, 2019) به بررسی فاز آمادگی در امداد بحران پرداختند. در نظر گرفتن هزینه‌های اجتماعی و کمینه کردن آن‌ها از جمله نوآوری‌های این پژوهش بشمار می‌رود.

جعفرخان و یعقوبی (Jafarkhan and Yaghoubi, 2019) یک مدل ریاضی جهت کنترل موجودی و مسیریابی در شبکه زنجیره تامین امداد بحران با در نظر گرفتن عدم قطعیت در تقاضا ارایه نمودند. در نظر گرفتن کمبود در زنجیره تامین و پنجره زمانی برای فساد خون از جمله نوآوری‌های این پژوهش می‌باشد. با توجه به مطالعه مرور ادبیات، نوآوری‌های مقاله اینچنین است.

- در نظر گرفتن افق برنامه‌ریزی به صورت یکپارچه که تصمیمات استراتژیک و تصمیمات عملیاتی بصورت همزمان انجام خواهد شد.

- در نظر گرفتن افق برنامه‌ریزی به صورت چند دوره‌ای.

- فرموله کردن مسئله با فرض چند کالایی (غذا، چادر، آب و خون) و چند مدد حمل و نقل (آمبولانس و هلیکوپتر)

تقاضای مشتریان در این پژوهش بصورت فازی در نظر گرفته شده است. تابع هدف این پژوهش شامل مینیمم کردن هزینه استفاده از وسائل نقلیه شامل هزینه سوخت، هزینه نگهداری موجودی و هزینه مکان‌یابی مراکز توزیع به عنوان تابع هدف اول و مینیمم کردن هزینه کمبود موجودی به عنوان تابع هدف دوم می‌باشد. گلابی، شوارانی و ایزبراک (Golabi, Shavarani, and Izbirak, 2017) مکان‌یابی مراکز توزیع امداد در هنگام وقوع زلزله پرداخته‌اند. مکان‌یابی در این پژوهش بصورت گسته می‌باشد بدین صورت که از بین نقاط بالقوه، نقاط بهینه انتخاب می‌شوند. در نظر گرفتن خرابی بعضی از نقاط و عدم دسترسی به برخی از نقاط از جمله نوآوری‌های این پژوهش بشمار می‌رود. برای حل مدل پیشنهادی از روش‌های فرابتکاری ژنتیک، شبیه‌سازی تبرید و الگوریتم ممتیک استفاده شده است. نی، شو و سونگ (Ni, Shu, and Song, 2018) یک مدل ریاضی جدید جهت برنامه ریزی تخلیه مجروحان و مکان‌یابی پناهگاه‌های مؤقت ارایه نمودند. در نظر گرفتن هزینه‌های جرمیه برای اثرات روحی واردۀ به مجروحان از جمله نوآوری‌های این پژوهش بشمار می‌رود. هدف این پژوهش کاهش هزینه‌های امدادرسانی تحت ستاریوهای مختلف می‌باشد. کارا اوغلان، اردغان و کوچ (Karaoglan, Erdogan and Koç, 2018) بررسی مسئله تور پوششی در حالت چند وسیله‌ای پرداختند. برای مقاله با عدم قطعیت مسئله یک مدل مسیر غیرخطی ارایه شده است و برای حل آن از حل جستجوی همسایگی استفاده شده است. حسنی و مختاری (Hasani, and Hasani, 2018) یک مدل استوار ستاریوبی را جهت طراحی زنجیره تامین امداد بحران در شرایط زلزله توسعه دادند. مدل ارایه شده دو مرحله‌ای بوده و در مرحله اول تصمیمات استراتژیک شامل مکان‌یابی تمهیلات و در مرحله دوم تصمیمات عملیاتی شامل تخصیص و جریان کالاهای امدادی در نظر گرفته است. برای حل مدل ارایه شده از یک الگوریتم ابتکاری استفاده شده است. در نهایت نتایج بیانگر صحت عملکرد مدل ارایه شده می‌باشد. نیکو و بابائی (Nikoo and Babaei, 2018) یک مدل چند هدفه را جهت طراحی شبکه حمل و نقل در فاز پاسخگویی در شرایط زلزله ارایه دادند. اهداف در نظر گرفته در این پژوهش شامل مشخص نمودن مسیرهای بهینه و طول هر مسیر و همچنین کمینه کردن زمان پاسخگویی می‌باشد. برای

- احتمال وقوع سناریو از پیش مشخص شده است.
- زمان در نظر گرفته شده برای خدمت رسانی به مجروحان، بی خانمانها و اجساد متفاوت است.
- در نظر گرفتن بحث پویایی موجودی در حالت امداد بحران - بررسی جریان کالاهای امدادی و مجروحان بصورت همزمان

با توجه به مفروضات مطرح شده، اندیس‌های مدل عبارتند:

I	مجموعه کالاهای امدادی
V	مجموعه مدهای حمل و نقل
E	مجموعه مسیرها
Z	مجموعه بیمارستانها
B	مجموعه قبرستانها
D	مجموعه مکان‌های آسیب‌دیده
F	مجموعه دکترها
N	مجموعه پرستارها
A	مجموعه اجساد
Q	مجموعه ماشین‌های نعش کش
H	مجموعه مجروحان
G	مجموعه افراد بی خانمان
L	مجموعه مراکز توزیع
J	مجموعه ظرفیت‌های مراکز توزیع
K	مجموعه پناهگاه‌ها
R	مجموعه پرسنل امداد
T	دوره زمانی
S	مجموعه سناریوها

- حل مساله در ابعاد بزرگ با استفاده از الگوریتم علف هرز

- در نظر گرفتن پنجه زمانی انتقال برای مجروحان

- در نظر گرفتن حالت عدم قطعیت بصورت سناریوهای مختلف

- ارایه یک مطالعه موردی واقعی جهت بررسی دقیق و صحت

مدل پیشنهادی

### ۳- مدل‌سازی ریاضی

مفروضات اصلی مساله به شرح زیر می‌باشد:

- هر مجروحی می‌تواند به هر یک از کلینیک‌های درمانی منتقل شود.

- دو نوع وسیله متفاوت برای انتقال مجروحان وجود

دارد. نوع اول آمبولانس‌ها می‌باشد و نوع دوم هلیکوپتر.

- مکان‌های بالقوه مراکز بحران و ظرفیت مجروحان

موجود در آن‌ها (از هر نوع)، مشخص و ثابت است.

- مکان کلینیک‌ها، و ظرفیت آن‌ها مشخص و ثابت است.

- هر وسیله امدادی امکان انتقال مجروحان مربوط به

کلینیک‌های متفاوت را به طور هم زمان دارد.

- فاصله بین مکان‌های آسیب‌دیده، بیمارستان‌ها،

قبرستان‌ها و ... از پیش مشخص شده است.

### پارامترها:

ظرفیت وسیله حمل و نقل ۷ برای انتقال بی خانمانها	$ct^{***}$
ظرفیت وسیله حمل و نقل ۷ برای انتقال پرسنل امداد	$ct^{**}$
ظرفیت وسیله حمل و نقل ۷ برای انتقال مجروحان	$ct^{**}$
ظرفیت وسیله حمل و نقل ۷ برای انتقال اجساد	$ct^v$
ظرفیت حجم وسیله حمل و نقل ۷ برای انتقال کالای امدادی	$vol^w$
ظرفیت مرکز توزیع سایز $j$	$fdc_j$
ظرفیت وزن وسیله حمل و نقل ۷ برای انتقال کالای امدادی	$wei^v$
ظرفیت بیمارستان Z برای مجروحان $h$ در سناریوی S	$hbe_{hs}$
وزن یک واحد کالای نوع i	$wo_i$
وزن اولویت فرد مجروح نوع h	$pw_h$
حجم یک واحد از کالای امدادی i	$vol_i$

بیشینه ظرفیت مرکز توزیع با حجم $J$	$cd_j$
هزینه عدم سرویس دهی به مجروهان در یک ساعت	$cs''$
هزینه عدم سرویس دهی به بی خانمانها در یک ساعت	$cs'$
هزینه عدم سرویس دهی به یک جسد در یک ساعت	$cs$
هزینه متغیر پناهگاهها بر حسب ظرفیت	$vrc'$
هزینه متغیر وسیله نقلیه $V$ به ازای واحد مسافت	$vrc_v$
هزینه ثابت تاسیس پناهگاه در مکان $K$	$fix''_k$
هزینه ثابت تاسیس مرکز توزیع با اندازه $J$ در مکان $I$	$fix'_{lj}$
هزینه ثابت وسیله نقلیه نوع $V$	$fix_v$
تعداد افراد بی خانمان $g$ که پرستار $n$ می تواند در یک ساعت سرویس دهی کند	$sn'''_{gn}$
تعداد مجروهان نوع $h$ که دکتر $f$ می تواند در یک ساعت ویزیت کند	$sn''_{hf}$
تعداد اجساد $a$ که ماشین نعش کش $q$ در یک ساعت می تواند سرویس دهی نماید	$sn'_{aq}$
تعداد پرسنل امداد $r$ که منطقه آسیب دیده $d$ در سناریوی $S$ نیاز دارد	$sn_{rds}$
یک عدد بزرگ	$M$
تعداد پرسنل امداد $r$ در بیمارستان $Z$ در سناریوی $S$	$hnr_{rs}$
تعداد مجروهان نوع $h$ در منطقه $d$ و در سناریوی $S$ نیاز به کمک دارند	$rn'''_{hds}$
تعداد بی خانمانهایی که در منطقه $d$ و در سناریوی $S$ که نیاز به کمک دارند	$rn''_{ds}$
تعداد کالای امدادی نوع $i$ در زمان $t$	$rn'_{it}$
تعداد اجساد در منطقه آسیب دیده $d$ در سناریوی $S$	$rn_{ds}$
طول مسیر $e$ بین نقطه آسیب دیده $d$ و پناهگاه $k$	$len_{dk}^e$
فاصله بین بیمارستان $Z$ و منطقه آسیب دیده $d$	$d'''_{zd}$
فاصله بین دو نقطه $O$ و $P$	$d''_{op}$
فاصله بین منطقه آسیب دیده $d$ و بیمارستان $Z$	$d'_{dz}$
فاصله بین منطقه آسیب دیده $d$ و قبرستان $b$	$d_{db}$
فاصله زمانی بین دو نقطه $d$ و $b$	$tb''_{db}$
فاصله زمانی بین دو نقطه $d$ و $z$	$tb_{dz}$
فاصله زمانی بین دو نقطه $d$ و $k$	$tb'_{dk}$
احتمال گذر موفق از مسیر $e$ از منطقه آسیب دیده $d$ به قبرستان $b$ در سناریوی $S$	$pse^{re''}_{dbs}$
احتمال گذر موفق از مسیر $e$ از منطقه آسیب دیده $d$ به بیمارستان $Z$ در سناریوی $S$	$pse^{re'}_{ds}$
احتمال گذر موفق از مسیر $e$ از منطقه آسیب دیده $d$ به پناهگاه $k$ در سناریوی $S$	$pse^e_{dkS}$
احتمال وقوع سناریوی $S$	$ps_s$
فاصله تور پوششی پناهگاه $k$	$r'_{k}$
فاصله منطقه $d$ تا پناهگاه $k$	$dis_{dk}$
متغیرها:	
تعداد وسایل نقلیه نوع $V$ انتقال یافته از بیمارستان $Z$ به منطقه $d$ برای حمل پرسنل امداد در سناریوی $S$	$x'''_{zdsV}$
تعداد وسایل نقلیه نوع $V$ انتقال یافته از گره $O$ به گره $p$ برای حمل کالاهای در زمان $t$ و سناریوی $S$	$x'''_{opsVt}$

تعداد وسیله نقلیه نوع $v$ که از منطقه آسیب‌دیده $d$ به بیمارستان $Z$ در سناریوی $S$ می‌رود	$x_{d_{zs}}^v$
تعداد وسیله نقلیه نوع $v$ که از منطقه آسیب‌دیده $d$ به قبرستان $b$ در سناریوی $S$ می‌رود	$x_{d_{bs}}^v$
تعداد وسایل نقلیه نوع $v$ انتقال یافته از منطقه $d$ به پناهگاه $k$ برای حمل بی‌خانمان‌ها در سناریوی $S$	$xl_{dks}^v$
تعداد پرسنل امدادی نوع $r$ که از بیمارستان $Z$ به سمت مستطیقه آسیب‌دیده $d$ در سناریوی $S$ حرکت می‌کند	$y_{rds}$
تعداد اجساد حمل شده از منطقه آسیب‌دیده $d$ به قبرستان $b$ در سناریوی $S$	$z'_{dbs}$
تعداد افراد مجرح نوع $h$ انتقال یافته از منطقه آسیب‌دیده $d$ به بیمارستان $Z$ با وسیله نقلیه $v$ در سناریوی $S$	$y_{hds}^v$
تعداد افراد بی‌خانمان انتقال یافته از منطقه $d$ به پناهگاه $k$ در سناریوی $S$	$y'_{dks}$
ظرفیت پناهگاه $k$	$z_k$
مقدار کمبود پرسنل امدادی نوع $r$ در منطقه آسیب‌دیده $d$ در زمان $t$ و سناریوی $S$	$naf_{rdst}$
مقدار مازاد کالای امدادی نوع $i$ در پناهگاه $k$ در زمان $t$ و سناریوی $S$	$asc_{ikts}$
تعداد مازاد پرسنل امدادی نوع $r$ در منطقه آسیب‌دیده $d$ در سناریوی $S$	$nsr_{rds}$
تقاضای پناهگاه $k$ برای کالای امدادی $i$ در زمان $t$ و سناریوی $S$	$dem_{ikts}$
تعداد مجروحان نوع $h$ که در منطقه آسیب‌دیده $d$ و سناریوی $S$ سرویس‌دهی نشده‌اند	$nas_{hds}$
مقدار کمبود کالای امدادی نوع $i$ در پناهگاه $k$ در زمان $t$ و سناریوی $S$	$ass_{ikts}$
مقدار کالاهای امدادی نوع $i$ انتقال یافته از گروه $p$ به $d$ در زمان $t$ و سناریوی $S$	$art'_{tops}$
برابر ۱ اگر پناهگاه در مکان کاندید $k$ تاسیس شده باشد در غیر این صورت برابر صفر	$shl_k$
برابر ۱ اگر مرکز توزیع با ظرفیت $j$ در نقطه $l$ قرار گرفته باشد در غیر این صورت برابر صفر	$dsl_{lj}$
برابر ۱ اگر مسیر $e$ از منطقه آسیب‌دیده $d$ به قبرستان $b$ در سناریوی $S$ انتخاب شود، در غیر اینصورت صفر	$ro^{e'}_{dbs}$
برابر ۱ اگر مسیر $e$ از منطقه آسیب‌دیده $d$ به بیمارستان $Z$ در سناریوی $S$ انتخاب شود، در غیر اینصورت صفر	$ro^e_{ds}$
برابر ۱ اگر مسیر $e$ از منطقه آسیب‌دیده $d$ به پناهگاه $k$ در سناریوی $S$ انتخاب شود، در غیر اینصورت صفر	$ro^e_{dks}$
اگر $dis_{dk} \leq r'_k$ باشد برابر ۱ در غیر این صورت برابر صفر	$gh_k$

تابع اهداف:

$$Minf_1 = \sum_{s=1}^S \sum_{e=1}^E \sum_{d=1}^D \sum_{k=1}^K \sum_{z=1}^Z \sum_{b=1}^B P_{S_s} \cdot [(1 - pse_{dks}^e) \cdot ro_{dks}^e + (1 - pse_{d_{zs}}^{e'}) \cdot ro_{d_{zs}}^{e'} + (1 - pse_{dbs}^{e''}) \cdot ro_{dbs}^{e''}] \quad (1)$$

$$Minf_2 = \sum_{k=1}^K fix''_k \cdot shl_k + \sum_{k=1}^K vrc' \cdot z_k + \sum_{l=1}^L \sum_{j=1}^J fix'_{lj} \cdot dsl_{lj} \quad (2)$$

$$\begin{aligned} & + \sum_{s=1}^S \sum_{v=1}^V ps_s \left[ \sum_{d=1}^D \sum_{z=1}^Z d'_{dz} \cdot x_{d_{zs}}^v + \sum_{d=1}^D \sum_{k=1}^K \sum_{e=1}^E len_{dk}^e \cdot xl_{dks}^v + \sum_{d=1}^D \sum_{b=1}^B d_{db} \cdot x_{dbs}^v + \right. \\ & \left. \sum_{z=1}^Z \sum_{d=1}^D d'''_{zd} \cdot x_{zd}^v + \sum_{o=1}^O \sum_{p=1}^P \sum_{t=1}^T d''_{op} \cdot x_{ops}^{vt} \right] + \\ & \sum_{s=1}^S \sum_{v=1}^V ps_s \left[ \sum_{d=1}^D \sum_{z=1}^Z x_{d_{zs}}^v + \sum_{d=1}^D \sum_{k=1}^K x_{dks}^v + \sum_{d=1}^D \sum_{b=1}^B x_{dbs}^v + \sum_{z=1}^Z \sum_{d=1}^D x_{zd}^v + \sum_{o=1}^O \sum_{p=1}^P \sum_{t=1}^T x_{ops}^{vt} \right] + \end{aligned}$$

$$\begin{aligned}
 & \text{Max}_{d,s,h} \{ 0, [(rn''_{hds} / (\sum_{f=1}^F y_{1ds}.sn''_{hf})) + \sum_{Z=1}^Z \sum_{e'=1}^{te'} ro^{te'}_{ds}.tb_{de}.] - u1 \}.pw_1.cs'' \\
 & + \text{Max}_{d,s,g} \{ 0, [(rn''_{ds} / (\sum_{n=1}^N y_{2ds}.sn''_{gn})) + \sum_{k=1}^K \sum_{e=1}^{te} tb^e_{dk}.ro^e_{dk} ] - u2 \}.pw_2.cs' \\
 & + \text{Max}_{d,s,a} \{ 0, [(rn_{ds} / (\sum_{q=1}^Q y_{3ds}.sn'_{aq})) + \sum_{b=1}^B \sum_{e''=1}^{te''} tb''_{db}.ro^{te''}_{db}] - u3 \}.pw_3.cs \\
 Minf_3 = \sum_{s=1}^S Ps_s \sum_{r=1}^R \max_d \{ naf_{rds} \} & \quad (3)
 \end{aligned}$$

محدودیت‌ها:

$$\sum_{d=1}^D y^d_{dks} \leq z_k \quad \forall k, s \quad (4)$$

$$nsr_{rds} - naf_{rds} = y_{rds} - sn_{rds} \quad \forall d, r, s \quad (5)$$

$$\sum_{e=1}^E ro^e_{dks} \leq 1 \quad \forall d, k, s \quad (6)$$

$$\sum_{e''=1}^{te''} ro^{te''}_{db} \leq 1 \quad \forall d, b, s \quad (7)$$

$$\sum_{e'=1}^{te'} ro^{te'}_{ds} \leq 1 \quad \forall d, z, s \quad (8)$$

$$\sum_{h=1}^H \sum_{v=1}^V y''_{hdvs} \leq \sum_{v=1}^V x'^v_{dzs} . ct'^v \quad \forall d, z, s \quad (9)$$

$$\sum_{r=1}^R y_{rds} \leq \sum_{v=1}^V x''^v_{zds} . ct''^v \quad \forall d, z, s \quad (10)$$

$$y^v_{dks} \leq \sum_{v=1}^V xl^v_{dks} . ct''^v \quad \forall d, k, s \quad (11)$$

$$dem_{ikts} = (\sum_{d=1}^D y^d_{dks}) . rn^i_{it} \quad \forall k, t, i, s \quad (12)$$

$$\sum_{d=1}^D y''_{hdzs} \leq hbe_{hzs} \quad \forall h, v, z, s \quad (13)$$

$$\sum_{i=1}^I art'_{iops} . wo_i \leq \sum_{v=1}^V x''^{vt}_{ops} . wei^v \quad \forall o, p, t, s \quad (14)$$

$$rn''_{ds} = \sum_{k=1}^K y'_{dk_s} \quad \forall d, s \quad (15)$$

$$y'_{dk_s} \leq M \cdot gh_{dk} \quad \forall d, k, s \quad (16)$$

$$rn_{ds} = \sum_{b=1}^B z'_{db_s} \quad \forall d, s \quad (17)$$

$$\sum_{e=1}^E ro'_{dk_s} \leq shl_k \quad \forall d, k, s \quad (18)$$

$$\sum_{j=1}^J dsl_{lj} \leq 1 \quad \forall l \quad (19)$$

$$\sum_{i=1}^I art'_{iops} \cdot vol_i \leq \sum_{v=1}^V x''^{vt}_{ops} \cdot vol'^v \quad \forall o, p, t, s \quad (20)$$

$$z_k \leq M \cdot shl_k \quad \forall k \quad (21)$$

$$\sum_{z=1}^Z y''_{hdvzs} \leq rn'''_{hds} \quad \forall d, v, h, s \quad (22)$$

$$\sum_{o=1}^O art'_{iops} \leq \sum_j cd_j \cdot dsl_{lj} \cdot fdc_j \quad \forall i, l, t, s \quad (23)$$

$$\left( \sum_{z=1}^Z y''_{hdvzs} \right) + nas_{hds} = rn'''_{hds} \quad \forall d, v, h, s \quad (24)$$

$$z'_{db_s} \leq \sum_{v=1}^V x'_{db_s} \cdot ct^v \quad \forall d, b, s \quad (25)$$

$$y'_{dk_s} \leq M \cdot pse'_{dk_s} \cdot \sum_{e=1}^E ro'_{dk_s} \quad \forall d, k, s \quad (26)$$

$$rn_{ds} \leq M \cdot pse''^{e^*}_{db_s} \cdot \sum_{e^*=1} ro''^{e^*}_{db_s} \quad \forall d, b, s \quad (27)$$

$$y''_{hdvzs} \leq M \cdot pse''^{e'}_{dzs} \cdot \sum_{e'=1} ro''^{e'}_{dzs} \quad \forall d, h, v, z, s \quad (28)$$

$$\sum_{d=1}^D y_{rd_s} \leq hnr_{rds} \quad \forall r, z, s \quad (29)$$

$$asc_{ikts} - ass_{ikts} = \sum_{i'=1}^{\infty} \sum_{o=1}^{\infty} art_{ioks}^{i'} - \sum_{i'=1}^{\infty} \sum_{p=1}^{\infty} art_{ikps}^{i'} - \sum_{i'=1}^{\infty} dem_{ikts}^{i'} \quad (30)$$

$$shl_k, ldsI_{lj}, ro_{dks}^e, ro_{dcs}^{e'}, ro_{dbs}^{ee''} \in \{0,1\} \quad (31)$$

$$dem_{ikts}, ass_{ikts}, naf_{rds}, nas_{hds}, asc_{ikts}, nsr_{rds}, x_{dks}^v, x_{dbs}^v, x_{dcs}^v, x_{zds}^{vv}, art_{lops}^t, y_{rds} \\ y_{hdvzs}, y_{dks}, z_{dbs}, z_k \in R^+ \quad (32)$$

آسیب‌دیده نشان می‌دهد. محدودیت ۱۳ بیشینه ظرفیت یک بیمارستان را مشخص می‌کند. محدودیت ۱۴ ظرفیت وزنی وسائل نقلیه را مشخص می‌کند. محدودیت ۱۵ بیانگر آن است که تمامی افراد بی‌خانمان باید حتماً از مناطق آسیب‌دیده تخلیه شوند. محدودیت ۱۶ بیانگر آن است که بی‌خانمان‌ها در منطقه آسیب‌دیده باید در فاصله پوششی پناهگاه‌های مشخص شده وجود داشته باشند که بتوانند به آنها انتقال یابند. محدودیت ۱۷ بیانگر آن است که تمامی اجساد باید از مناطق آسیب‌دیده تخلیه شوند و به قبرستان‌ها ارسال شوند. محدودیت ۱۸ آن است که قبل از اینکه بی‌خانمان‌ها به پناهگاه‌ها ارسال شوند، باید آن پناهگاه تاسیس شده باشد. محدودیت ۱۹ بیانگر آن است که در یک نقطه مشخص امکان تاسیس دو مرکز توزیع وجود خواهد داشت. محدودیت ۲۰ ظرفیت حجمی وسائل نقلیه را مشخص می‌کند. محدودیت ۲۱ بیانگر آن است که حتماً یک پناهگاه قبل از استفاده شدن باید تاسیس شده باشد. محدودیت ۲۲ بیانگر آن است که تعداد افراد آسیب‌دیده در یک منطقه آسیب‌دیده منتقل شده به مرکز امدادی بیشتر از کل تعداد افراد آسیب دیده در آن منطقه آسیب‌دیده نباشد. محدودیت ۲۳ بیانگر آن است که کالاهای امدادی ارسال شده نمی‌تواند بیشتر از تعداد کالاهای امدادی موجود در مرکز توزیع باشد. محدودیت ۲۴ تعداد افراد سرویس‌دهی نشده را در مناطق آسیب‌دیده نشان می‌دهد. محدودیت ۲۵ ظرفیت وسائل نقلیه حمل اجساد را مشخص می‌کند. محدودیت‌های ۲۶ تا ۲۸ از تشکیل مسیرهای بین دو نقطه که وجود ندارند جلوگیری خواهد کرد. محدودیت ۲۹ بیانگر آن است که پرسنل امدادی اعزام شده نمی‌تواند بیشتر از تعداد پرسنل امدادی حاضر در بیمارستان باشد. محدودیت ۳۰ میزان کمبود کالاهای امدادی را در پناهگاه‌ها و محدودیت‌های ۳۱ و ۳۲ نیز متغیرهای تصمیم مسئله را تشریح می‌کنند.

در واقع این تحقیق شامل ۳ هدف می‌باشد، تابع هدف اول بیانگر بیشینه کردن احتمال عبور موفق از مسیرها می‌باشد و قابلیت اطمینان مسیرها را افزایش می‌دهد.

تابع هدف دوم بیانگر کمینه کردن هزینه‌های امدادی قبل و بعد از وقوع بحران می‌باشد. هزینه‌های بعد از بحران شامل هزینه‌های حمل و نقل (ثابت یا متغیر) اجساد، بی‌خانمان‌ها، مجروحان و کالاهای امدادی می‌باشد. هزینه‌های حمل و نقل قبل از وقوع بحران، شامل هزینه‌های تاسیس مرکز امداد بحران از جمله مراکز توزیع و پناهگاه‌ها می‌باشد.

قسمت دوم تابع هدف مقدار بیشینه هزینه‌های امدادی را کمینه می‌کند. میزان زمان (پنجراه زمانی) تعیین شده برای خدمت‌رسانی به مجروحین برابر ۷۰ ساعت (زمان طلایی)، بی‌خانمان برابر ۹۰ ساعت و برای اجساد برابر ۱۱۰ ساعت در نظر گرفته شده است. همچنین درجه اهمیت براساس نظر خبرگان برای اجساد برابر ۰/۱، برای بی‌خانمان‌ها ۰/۵ و برای مجروحان برابر ۰/۸ در نظر گرفته شده است. بنابراین مدل پیشنهادی سعی بر آن دارد که ابتدا مجروحان را سرویس‌دهی کند.

تابع هدف سوم بیانگر کمینه کردن بیشینه تقاضای پوشش داده نشده برای کالاهای امدادی برای تمامی مراکز برای تمامی سناریوها و حالات ممکن می‌باشد.

محدودیت ۴ بیانگر محدودیت ظرفیت در پناهگاه‌های ایجاد شده می‌باشد. محدودیت ۵ میزان کمبود پرسنل امدادی در مناطق آسیب‌دیده را در هر سناریو مشخص می‌کند. محدودیت‌های ۶ تا ۸ بیانگر آن است که بین دو نقطه تنها و تنها یک مسیر ممکن است که بتواند وجود داشته باشد.

محدودیت ۹ ظرفیت وسائل نقلیه حمل مجروحان را مشخص می‌کند. محدودیت ۱۰ ظرفیت وسائل نقلیه حمل پرسنل امدادی را مشخص می‌کند. محدودیت ۱۱ ظرفیت وسائل نقلیه حمل بی‌خانمان‌ها را مشخص می‌کند. محدودیت ۱۲ مقدار تقاضای برآورده نشده را در مناطق

$S_{max}$  را تعیین می‌کنیم. مقادیر انحراف معیار ابتدایی و انتهایی  $\sigma_{initial}$  و  $\sigma_{final}$  را نیز تعیین می‌کنیم.

- الگوریتم مرتب‌سازی نامغلوب را انجام داده و مقدار فاصله ازدحامی  $d_i$  دانه‌ها را محاسبه می‌کنیم.
- هر علف اجازه دارد که براساس فاصله ازدحامی و رتبه‌ای که دارد، می‌تواند دانه تولید کند. تعداد دانه‌های هر علف براساس رابطه ۳۴ محاسبه می‌شود. در این رابطه  $r_i(k)$  رتبه علف می‌باشد و  $r_{max}$  حداقل رتبه می‌باشد.

(۳۴)

$$S_i = S_{max} - (1 - d_i) \frac{r_i(k)}{r_{max}} (S_{max} - S_{min})$$

- دانه‌های هر علف به صورت تصادفی در اطراف علف والد خود با میانگین صفر و انحراف معیاری که براساس رابطه ۳۵ محاسبه می‌شود، تولید می‌گردد. در این رابطه  $n$  عامل کاهش انحراف معیار می‌باشد که جزو ورودی‌های الگوریتم می‌باشد و مقدار آن ثابت است.

(۳۵)

$$\sigma_{iter} = \frac{(Max_{iter} - iter)^n}{(Max_{iter})^n} (\sigma_{initial} - \sigma_{final}) + \sigma_{initial}$$

- زمانی که جمعیت علف‌ها از پارامتر  $P_{max}$  بیشتر شود، علف‌ها با رتبه بیشتر از جمعیت حذف می‌شوند.
- تا رسیدن به معیار توقف، گام‌های قبلی تکرار می‌شود. در نمایش ساختار جواب در الگوریتم ارایه شده، ماتریس نمایش جواب دارای ۲ بخش مکان‌یابی و تخصیص جریان می‌باشد. بخش اول شامل مکان‌یابی پناهگاه و مراکز توزیع می‌باشد. درایه‌های این ماتریس‌ها با اعداد بین ۰ و ۱ پر می‌شود. به عنوان مثال در صورتی که  $K=6$  باشد و ۶ نقطه کاندید برای مکان‌یابی پناهگاه‌ها وجود داشته باشد نمونه‌ای از این ماتریس به شکل ۱ به صورت تصادفی تولید می‌شود.
- مشاهده می‌شود که پناهگاه‌ها در مکان‌های بالقوه، ۲، ۴ و ۵ احداث می‌شوند.

#### ۴- رویکردهای حل

در این مقاله از روش‌های محدودیت اپسیلون در ابعاد کوچک و متوسط و روش الگوریتم فراتکاری علف هرز چند هدفه برای حل مطالعه موردی در ابعاد بزرگ استفاده می‌گردد.

##### ۴-۱- رویکرد محدودیت اپسیلون

روش محدودیت اپسیلون یکی از روش‌های دقیق حل برنامه‌ریزی چندهدفه بوده و شامل بهینه‌نمودن یک تابع هدف اصلی ( $F_p$ ) و بیان اهداف دیگر در فرم محدودیت‌های نامساوی هست (Mavrotas, 2009).

(۳۳)

$$\begin{aligned} & \min_{x \in \Omega} F_p(x) \\ & \text{subject to } F_i(x) \leq \varepsilon_i \quad i = 1, \dots, m \quad i \neq p \end{aligned}$$

##### ۴-۲- رویکرد الگوریتم علف هرز مهاجم

الگوریتم بهینه‌سازی علف هرز مهاجم<sup>۱</sup> یک الگوریتم بهینه‌سازی هوشمند و تکاملی است، که با الهام از روند تکثیر، بقا و تطبیق پذیری علف‌های هرز، ایجاد و ابداع شده است. به طور کلی هدف علف‌های هرز «یافتن بهترین محیط برای زندگی» می‌باشد. مطالعات نشان می‌دهد الگوریتم بهینه‌سازی علف‌های هرز به علت مکانیزم جستجوی سراسری قوی، نسبت به الگوریتم‌هایی نظیر ژنتیک، بهینه‌سازی ذرات، تفاضل دیفرانسیل، پرش قربانیه برخوردار است (محرابیان و لوكاس، ۲۰۰۶).

##### ۴-۲-۱- گام‌های الگوریتم علف هرز چند هدفه (MOAWO)<sup>۲</sup>

گام‌های این الگوریتم به شرح زیر می‌باشد (Karimkashi, and Kishk, 2010).

- براساس تابع تولید جواب اولیه، تعدادی علف تولید می‌کنیم. حداقل تعداد تکرار  $Max_{iter}$  را تعیین می‌کنیم. همچنین مقادیر حداقل و حداقل تعداد دانه‌ها و  $S_{min}$

### تنظیم پارامتر

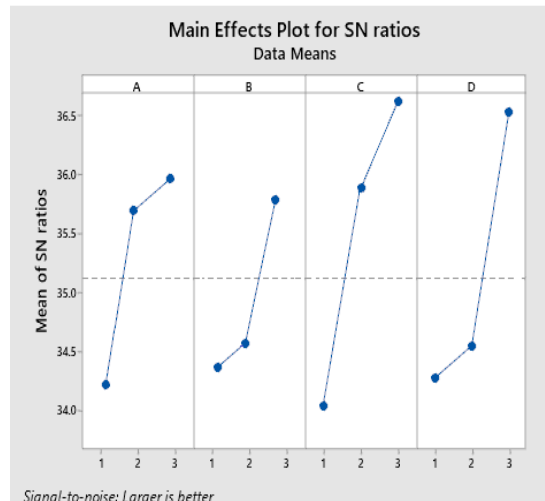
که در اینجا  $n$  تعداد تکرار آزمایش و  $y_i$  پاسخ مساله است. تاثیرگذارترین پارامترها در الگوریتم ارایه شده که عبارتند از تعداد جمعیت اولیه (nPop)، تعداد تکرار (MaxIt)، حداقل تعداد دانه (Smin) و حداکثر تعداد دانه (Smax). با بررسی شکل ۲ و رابطه ۳۶ می‌توان بهترین ترکیب برای پارامترهای الگوریتم علف هرز را تعیین نمود. جدول ۱ این مقادیر را نمایش می‌دهد.

به منظور تنظیم پارامتر الگوریتم، از روش تاگوچی استفاده شده است. با توجه به اینکه همه توابع هدف مربوط به مسیریابی وسایل نقلیه از نوع کمینه‌سازی است بنابراین، نرخ S/N مربوط به آن به صورت رابطه ۳۶ محاسبه می‌شود (Taguchi et al. 2005)

$$S/N = -10 \log\left(\frac{1}{n} \sum_{i=1}^n y_i^2\right) \quad (36)$$

	K <sub>1</sub>	K <sub>2</sub>	K <sub>3</sub>	K <sub>4</sub>	K <sub>5</sub>	K <sub>6</sub>
X <sub>1</sub>	0	1	0	1	1	0

شکل ۱. ساختار جواب



شکل ۲. میانگین نرخ S/N برای هر سطح از عوامل الگوریتم MOAWO

جدول ۱. پارامترهای انتخاب شده برای الگوریتم پیشنهادی

پیشترین تکرار	تعداد جمعیت اولیه	حداقل تعداد دانه‌ها	حداکثر تعداد دانه‌ها
۱۰۰	۱۰۰	۱۰۰	۱۰

## ۵- مطالعه موردي

کرده‌ایم که این بافت‌ها، مناطق آسیب‌دیده و نقاط تقاضا را تشکیل می‌دهند. این مناطق در جدول ۲ آمده‌اند. شرکت جایکا (JAICA<sup>4</sup>, 2000) براساس گسل‌های فعال موجود در تهران چند مدل زلزله ارایه کرده است که بر اساس این مدل‌ها می‌توان سناریوهای زلزله را محاسبه کرد. که در جدول ۳ نشان داده شده است. جدول ۴ نیز مجموعه نقاط بالقوه برای احداث مراکز توزیع کالاهای امدادی را نشان می‌دهد. همچنین طبق جدول ۵ فرض شده است که تعداد ۷۰ کامیون باری در شبکه موجود است و بیمارستان تعداد ۵۵ آمبولانس برای اعزام به مناطق آسیب‌دیده در دست دارد.

شهر تهران یکی از زلزله خیزترین شهرهای جهان بحساب می‌آید و در صورت وقوع زلزله آسیب‌ها و خسارات جبران ناپذیری رخ خواهد داد. منطقه یک تهران در شمالی‌ترین نقطه تهران در قسمت جنوبی رشته کوه‌های البرز قرار دارد. علت انتخاب این منطقه، حساس بودن آن از لحاظ تراکم جمعیت، وجود بسیاری از مدارس و سازمان‌های دولتی و... می‌باشد. از جمله گسل‌های تهران گسل مشا، گسل ری و گسل شمال تهران می‌باشد که با توجه به مقاوم نبودن ساختمان‌های تهران در صورت فعال شدن بسیار پرتغافات خواهد بود. از آنجا که ساختار بافت‌های فرسوده شهری ناپایدار می‌باشد و این بافت‌ها آسیب‌پذیری بیشتری در برابر حوادث طبیعی دارند، فرض

جدول ۲. مجموعه مکان‌های آسیب‌دیده

ردیف	ناحیه	مناطق آسیب دیده	ردیف	ناحیه	مناطق آسیب دیده
۱	d <sub>1</sub>	پاسداران	۵	d <sub>12</sub>	کاشانک
	d <sub>2</sub>	کامرانیه		d <sub>13</sub>	اقدسیه
۲	d <sub>3</sub>	سعدآباد	۷	d <sub>14</sub>	باغ فردوس
	d <sub>4</sub>	ولنجک		d <sub>15</sub>	تجربیش
	d <sub>5</sub>	درکه		d <sub>16</sub>	قیطریه
۳	d <sub>6</sub>	گلابدره	۸	d <sub>17</sub>	اندرزگو
	d <sub>7</sub>	دربند		d <sub>18</sub>	اراج
	d <sub>8</sub>	جماران		d <sub>19</sub>	ازگل
۴	d <sub>9</sub>	جمشیدیه			
	d <sub>10</sub>	حصارک			
	d <sub>11</sub>	داشیب			

جدول ۳. احتمال وقوع سناریوهای مختلف به همراه تعداد کشته‌شدگان و تعداد ساختمان‌های آسیب‌دیده برای منطقه ۱ تهران

سناریو		گسل ری		گسل شمال		گسل مشا		شدت وقوع	
زمان وقوع		روز		شب		روز		شب	
احتمال وقوع (درصد)		۵/۷۰		۲/۱۸		۲۳/۷۴		۵/۰۱	
احتمال کشته شدگان (درصد)		۰/۹		۰/۷		۱۱/۴۱		۱۰/۷۵	
احتمال کشته شدگان (درصد)		۰/۳		۰/۴		۲/۷		۵/۲	

جدول ۴. مجموعه مکان‌های بالقوه برای احداث مراکز توزیع امداد

ردیف	نام ناحیه	مراکز توزیع	ناحیه	ردیف
۱۱	فرمانیه	ولنجک	بان GAS	۱۳
۱۲	ولنجک	گلابدره	جاماران	۱۴
۱۳	گلابدره	بان GAS	آجودانیه	۱۵
۱۴	بان GAS	آجودانیه	تجربیش	۱۶
۱۵	آجودانیه	تجربیش	اقدسیه	۱۷
۱۶	تجربیش	اقدسیه	اراج	۱۸
۱۷	اقدسیه	اراج	ازگل	۱۹
۱۸	اراج	ازگل		۱۹
۱۹				۱۰

#### جدول ۵. ناوگان حمل و نقل

وسیله نقلیه	نوع وسیله نقلیه	وزنی(kg)	ظرفیت حجمی(m <sup>3</sup> )	ظرفیت(nفر)	تعداد در دسترس
V <sub>1</sub>	آمبولانس	۳۰۰	۴	۲	۵۵
V <sub>2</sub>	هلیکوپتر	۵۰۰	۶	۶	۱۰
V <sub>3</sub>	کامیون	۲۲۰۰۰	۱۲	۰	۷۰
V <sub>4</sub>	ماشین حمل اجسام	۳۰۰	۱۲	۲	۲۰۰

$$SM = \frac{\sum_{i=1}^{n-1} |d_i - \bar{d}|}{(n-1)\bar{d}} \quad (37)$$

#### فاصله از نقطه ایده‌آل (MID):

این معیار سنجشی از نزدیکی جواب‌های پارتو به نقطه ایده‌آل ( $f_1^{\text{best}}, f_2^{\text{best}}, f_3^{\text{best}}$ ) ارایه می‌کند. هرچه مقدار این فاصله کمتر باشد کیفیت جواب‌ها بهتر خواهد بود. با توجه به مطلب گفته شده نحوه محاسبه عملکرد مجموعه جواب‌های پارتو بصورت رابطه ۳۸ خواهد بود (Tavana et al., 2018). که در آن،  $n$  تعداد جواب‌های غیر مغلوب بدست آمده است و منظور از  $f_{ki}$  مقدار کامین تابع هدف در بردار جواب پارتو نام است.

جدول ۷ نتایج ۲۷ نقطه پارتو را برای مطالعه موردی نشان می‌دهد. همانطور که در جدول نشان داده شده است میانگین فاصله از نقطه ایده‌آل برابر  $0.49\%$  می‌باشد. همچنین میانگین مقدار فاصله گذاری برابر  $0.76\%$  می‌باشد. مقادیر حاصله نشان دهنده عملکرد مناسب مدل پیشنهادی هست. در شکل ۳ نیز مقادیر پارتوی حاصل از حل را نشان می‌دهد. با توجه به سه هدفه بودن مدل پیشنهادی این شکل بصورت سه بعدی نمایش داده شده است.

$$MID = \frac{\sum_i^n \sqrt{\left(\frac{f_{1i} - f_1^{\text{best}}}{f_{1,\text{total}}^{\text{max}} - f_{1,\text{total}}^{\text{min}}}\right)^2 + \left(\frac{f_{2i} - f_2^{\text{best}}}{f_{2,\text{total}}^{\text{max}} - f_{2,\text{total}}^{\text{min}}}\right)^2 + \left(\frac{f_{3i} - f_3^{\text{best}}}{f_{3,\text{total}}^{\text{max}} - f_{3,\text{total}}^{\text{min}}}\right)^2}}{n} \quad (38)$$

مراکز توزیع بیشتر شود تقاضای پوشش داده نشده (مقدار تابع هدف سوم) کمتر می‌شود. شکل ۵ تحلیل مسئله تور پوششی را از نظر شعاع پوشش نشان می‌دهد. همانطور که مشاهده می‌شود، با افزایش شعاع پوششی، طول تور کاهش می‌یابد.

#### ۶- نتایج محاسباتی

جدول ۶ نتایج مقایسه رویکرد حل دقیق را با الگوریتم علف هرز در ابعاد کوچک و متوسط نشان می‌دهد. با توجه به سه هدفه بودن مدل پیشنهادی، مقادیر نقاط پارتوی سه هدف نشان داده شده است. میانگین زمان‌های حل بیانگر آن است که با افزایش ابعاد مسئله، زمان حل در روش دقیق به شدت و بصورت نمایی افزایش می‌یابد، این در حالی است که سرعت زمان حل در حل فرالتکاری بسیار کمتر می‌باشد. همچنین درصد خطای محاسبه در الگوریتم علف هرز بسیار کم می‌باشد. بنابراین می‌توان به رویکرد حل پیشنهادی جهت حل مسئله برای مطالعه موردی اعتماد کرد.

#### ۶- فاصله گذاری (SM)

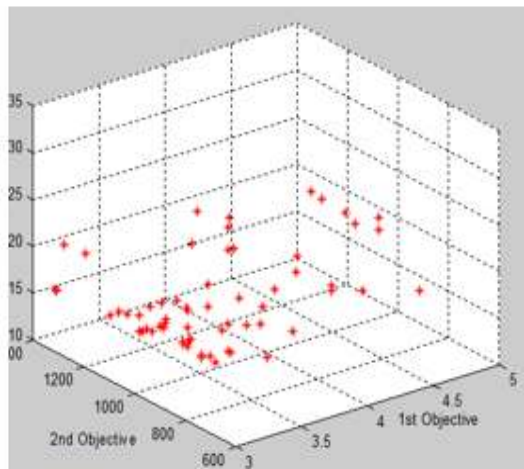
این شاخص یکنواختی توزیع جواب‌های موجود در جبهه پارتویی را ارزیابی می‌کند. که در آن  $n$  تعداد جواب‌های پارتو و  $d_i$  فاصله‌ی اقلیدسی بین دو جواب پارتویی کناری در فضای حل می‌باشد. همچنین  $\bar{d}$  نیز برابر میانگین فواصل  $d_i$ ‌ها می‌باشد. مقدار کم این معیار، بیانگر توزیع یکنواخت تر جواب در پارتویی شناسایی شده می‌باشد. و رابطه ۳۷ نشان دهنده این رابطه می‌باشد (Tavana et al., 2018).

برخی از نتایج برای یک نقطه پارتو دلخواه، شامل: مکان‌یابی مراکز توزیع طبق جدول ۸ و کنترل موجودی مراکز توزیع مطابق جدول ۹، در قبل از فاز وقوع بحران و جدول ۱۰ الگوی مسیریابی وسیله نقلیه در فاز بعد از بحران را برای مطالعه موردی نشان می‌دهد. مطابق شکل ۴ مشاهده می‌شود، هرچه قدر ظرفیت

جدول ۶. نتایج حل در ابعاد کوچک و متوسط

کل خطأ (درصد)	رویکرد علف هرز				روش حل دقیق				شماره مسئله	ابعاد
	زمان (s)	تابع ۳	تابع ۲	تابع ۱	زمان (s)	تابع ۳	تابع ۲	تابع ۱		
۰	۲	۲۱/۴۸۰	۷۵۰/۰۵۷۰	۲/۷۹۰	۲	۲۱/۴۸۰	۷۵۰/۰۵۷۰	۲/۷۹۰	۱	کوچک
۰/۲	۴	۱۵/۶۹۷	۷۴۰/۱۰۷	۲/۷۹۲	۲۶	۱۵/۶۸۰	۷۴۳/۰۳۳۰	۲/۷۹۰	۲	
۰/۵۰	۵	۱۰/۹۵۰	۷۶۸/۲۱۰	۲/۷۹۳	۶۸	۱۰/۵۲۰	۷۶۵/۰۷۰۰	۲/۷۹۰	۳	
۰/۴۲	۷	۲۲/۰۰۸	۷۶۰/۰۳۱۰	۲/۹۴۰	۱۱۰	۲۱/۴۸۰	۷۵۸/۰۷۵۰	۲/۹۰۰	۴	
۰/۶۲	۱۴	۱۵/۹۹۰	۷۴۵/۰۲۱	۲/۹۱۰	۲۲۵	۱۵/۶۸۰	۷۴۳/۰۲۴	۲/۹۰۰	۵	
۱	۲۰	۱۲۵/۰۰	۶۱۲۳/۰۵۴	۲۲/۹۳۵	۶۷۹	۱۲۳/۰۸۸	۶۱۱۹/۰۴۳۴	۲۲/۷۶۵	۶	متوسط
۱/۰۳	۲۹	۱۲۲/۰۵۱	۶۱۲۱/۰	۲۴/۸۱۵	۱۵۹۶	۱۲۰/۰۸۴	۶۱۱۶/۰۸۴۵	۲۳/۷۰۱	۷	
۰/۸۱	۳۵	۱۲۵/۰۹۸	۶۱۱۹/۰۲۰	۲۲/۰۸۵	۲۴۹۷	۱۲۲/۰۲۱۰	۶۱۱۵/۰۸۰۷	۲۱/۷۰۱	۸	
۱/۱	۴۱	۱۱۷/۱۶	۶۱۱۹/۹	۲۶/۸۵۰	۶۴۱۰	۱۱۵/۰۳۱۰	۶۱۱۷/۰۹	۲۵/۱۸۴	۹	
۰/۶۸	۵۲	۱۲۱/۰۳۵	۶۱۱۵/۰۹۷	۲۵/۰۲۰	۸۹۷۱	۱۱۹/۰۲۵	۶۱۰۹/۰۴۱	۲۴/۰۸۹	۱۰	
۰/۶۳	۲۰/۹				۲۰۵۸/۴					میانگین

جدول ۷. شاخص‌های عملکردی در معالجه موردنی



شکل ۳. نقاط پارتو

MID	SM	NO	MID	SM	NO
۰/۳۸	۰/۹۸	۱۵	۰/۳۵	۰/۸۹	۱
۰/۶۱	۰/۹۳	۱۶	۰/۳۶	۰/۳۰	۲
۰/۷۱	۰/۹۷	۱۷	۰/۳۴	۰/۶۴	۳
۰/۳۷	۰/۹۹	۱۸	۰/۵۲	۰/۷۳	۴
۰/۶۹	۰/۹۲	۱۹	۰/۴۲	۰/۸۹	۵
۰/۴۱	۰/۷۳	۲۰	۰/۴۶	۰/۹۱	۶
۰/۳۸	۰/۰۰	۲۱	۰/۴۳	۰/۸۹	۷
۰/۶۳	۰/۵۳	۲۲	۰/۲۷	۰/۲۰	۸
۰/۷۲	۰/۷۹	۲۳	۰/۰۱	۰/۰۲	۹
۰/۳۶	۱/۰۰	۲۴	۰/۲۲	۰/۹۸	۱۰
۰/۵۱	۰/۹۰	۲۵	۱/۰۰	۰/۹۱	۱۱
۰/۸۸	۰/۹۰	۲۶	۰/۴۴	۰/۷۶	۱۲
۰/۵۳	۰/۶۰	۲۷	۰/۰۵	۰/۹۸	۱۳
-	-	-	۰/۰۰	۰/۷۰	۱۴
۰/۴۹	۰/۷۶				میانگین

جدول ۸. مراکز توزیع تاسیس شده

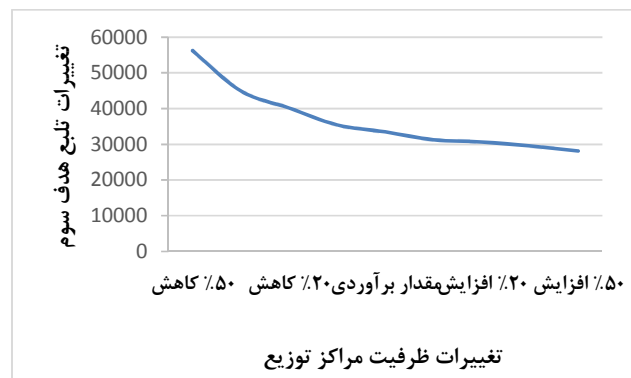
ردیف	مراکز توزیع	فرمانیه	ولنجک	باغ شاطر	گلابدره	جماران	آجودانیه	تجربیش	اراج	ازگل	اقدسیه	اراج	۱۱۰
۱۱	۰	۱	۱	۱	۱	۰	۱	۱	۰	۱	۱	۰	۱
۱۲	۱	۱	۰	۰	۱	۱	۰	۱	۱	۰	۱	۰	۱
۱۳	۰	۱	۱	۰	۰	۰	۱	۰	۰	۰	۰	۰	۰
۱۴	۰	۰	۰	۰	۰	۰	۰	۰	۰	۰	۰	۰	۰
۱۵	۰	۰	۰	۰	۰	۰	۰	۰	۰	۰	۰	۰	۰
۱۶	۰	۰	۰	۰	۰	۰	۰	۰	۰	۰	۰	۰	۰
۱۷	۰	۰	۰	۰	۰	۰	۰	۰	۰	۰	۰	۰	۰
۱۸	۰	۰	۰	۰	۰	۰	۰	۰	۰	۰	۰	۰	۰
۱۹	۰	۰	۰	۰	۰	۰	۰	۰	۰	۰	۰	۰	۰
۲۰	۰	۰	۰	۰	۰	۰	۰	۰	۰	۰	۰	۰	۰

جدول ۹. مراکز توزیع احداث شده، اندازه‌ی آنها و مقدار ذخیره‌ی موجودی

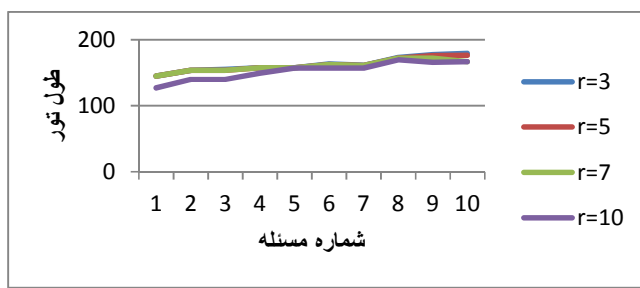
اقلام امدادی ذخیره شده					نوع مرکز	نقطه تقاضا	اقلام امدادی ذخیره شده				نوع مرکز	مراکز توزیع
خون	غذا	آب	چادر	توزیع			خون	غذا	آب	چادر		
۳۰۰۰	۳۳۰۱۰۰	۴۰۰۸۰۰	۱۷۱۱۸	متوسط	تجربیش		۳۵۶۳	۳۲۱۷۸۶	۴۱۶۹۳	۱۳۱۵۴	متوسط	فرمانیه
۵۶۰۰	۵۰۰۲۱۹	۷۵۰۱۱۰	۴۲۷۹۰	بزرگ	اقدسیه		۵۶۷۰	۶۷۳۴۲۱	۷۹۷۴۲۳	۳۳۳۹۱	بزرگ	ولنجک
۶۱۵۰	۴۹۸۲۱۳	۶۹۸۷۱۰	۳۸۸۷۳	بزرگ	ازگل		۵۵۰۰	۵۴۱۲۳۴	۶۸۹۱۲۳	۲۹۰۱۷	بزرگ	گلابدره
-	-	-	-	-			۶۲۵۰	۵۱۷۶۰۰	۸۱۶۹۹۰	۳۵۴۳۰	بزرگ	آجودانیه

جدول ۱۰. نمونه الگوی مسیریابی بین مناطق آسیب‌دیده و مراکز توزیع

مسیر ۱	مسیر ۲	مسیر ۳	مسیر ۴
$d_1 - a_2 - a_1 - d_1$	-	-	-
-	$d_2 - a_5 - a_4 - a_3 - a_6 - d_2$	-	-
-	-	$d_3 - a_7 - a_8 - a_{10} - a_{11} - a_9 - d_3$	-
-	-	-	$d_4 - a_{14} - a_{12} - a_{13} - a_{15} - d_4$
-	-	-	-
$d_1 - a_2 - a_1 - a_4 - a_6 - d_1$	$d_2 - a_5 - a_3 - d_2$	-	-
$d_1 - a_2 - a_7 - a_{10} - d_1$	-	$d_3 - a_1 - a_8 - a_9 - a_{11} - d_3$	-
$d_1 - a_2 - a_{12} - a_{13} - d_1$	-	-	$d_4 - a_{14} - a_1 - a_{15} - d_4$
$d_1 - a_2 - a_{17} - a_{16} - d_1$	-	-	-
-	$d_2 - a_5 - a_{10} - a_6 - a_7 - d_2$	$d_3 - a_8 - a_4 - a_3 - a_{11} - a_9 - d_3$	-
-	$d_2 - a_3 - a_5 - a_{14} - a_{12} - d_2$	-	$d_4 - a_6 - a_4 - a_{15} - a_{13} - a_{16} - d_4$
-	$d_2 - a_{19} - a_4 - a_{16} - a_6 - d_2$	-	-
-	-	$d_3 - a_{15} - a_8 - a_7 - a_{11} - a_{14} - d_3$	$d_4 - a_{10} - a_{12} - a_{13} - a_9 - d_4$



شکل ۴. تحلیل حساسیت تابع هدف سوم نسبت به ظرفیت مراکز توزیع



شکل ۵. طول تور به ازای شعاع های پوششی مختلف

- از تئوری بازی برای انتخاب تأمین‌کننده قبل از وقوع بحران استفاده شود.

#### ۸- پی‌نوشت‌ها

1. Non-Dominated Sorting Genetic Algorithm-II
2. Invasive Weed Optimization Algorithm
3. Multi-Objective Invasive Weed Optimization Algorithm
4. Japan International Cooperation Agency

#### ۹- مراجع

- حسینی‌نژاد، س.ف.، ماکویی، ا. و توکلی‌مقدم، ر.، (۱۳۹۷)، "مدل‌سازی مکانیابی هاب زنجیره امدادرسانی در مدیریت بحران بر مبنای نیاز مصدقه‌من بن تصادفات جاده‌ای" پژوهشنامه حمل و نقل، دوره پانزدهم، شمار سوم، ص. ۳۲۱-۳۳۵.

-Burak, Kō., Yetis- Kara, B., Saldanha-da-Gama, F. and Correia, I., (2019), "Modeling the shelter site location problem using chance constraints: A case study for Istanbul", European Journal of Operational Research, Vol.270, No.1, pp. 132-145.

- Davoodi, S.M.R. and Goli, A., (2019), "An integrated disaster relief model based on covering tour using hybrid Benders decomposition and variable neighborhood search: Application in the Iranian context", Computers & Industrial Engineering, Vol. 130, pp.370-380.

-Diabat, A., Jabbarzadeh, A. and Khosrojerdi, A., (2019), "A perishable product supply chain network design problem with reliability and disruption considerations", International Journal of Production Economics, Vol. 212, pp. 125-138.

#### ۷- نتیجه‌گیری

هدف اصلی این تحقیق ارایه یک مدل ریاضی چندهدفه و چندکالایی جهت مکان‌یابی، مسیریابی، موجودی و توزیع کالاهای امدادی در شرایط زلزله عدم قطعیت سatarیویی با استفاده از رویکرد الگوریتم علف هرز می‌باشد. بنابراین این مقاله پس از ارایه مدل پیشنهادی با دو الگوریتم محدودیت اپسیلون (در ابعاد کوچک و متوسط) و علف هرز (در ابعاد بزرگ) حل شده است. دلیل استفاده از الگوریتم علف هرز، عملکرد مناسب آن در حل مسائل کوچک و متوسط (با خطای زیر یک درصد) می‌باشد. سپس مدل پیشنهادی برای منطقه ۱ تهران مورد آزمایش قرار گرفته است. پس از حل مدل پیشنهادی برای نقطه پارتو، هفت مرکز توزیع از ده مرکز توزیع در نظر گرفته شده بعنوان مرکز توزیع بهینه انتخاب گردید. و همچنین میزان موجودی کالاهای ذخیره شده در قبیل از بحران و میزان کالاهای مازاد و کمبود در هر مرکز توزیع، تعداد پناهگاه‌های تخصیص یافته به مناطق آسیب‌دیده، و مسیریابی بهینه وسایل نقلیه در بعد از بحران محاسبه شدند. میانگین فاصله از نقطه ایده‌آل برای مطالعه موردی برابر ۰/۴۹ و میانگین مقدار فاصله‌گذاری برابر ۰/۷۶ محاسبه شد. مقادیر حاصله بیانگر عملکرد مناسب مدل پیشنهادی می‌باشد. نتایج بیانگر آن است که؛ با افزایش تقاضا تعداد مرکز توزیع تأسیس شده افزایش می‌یابد و با کاهش شعاع پوششی، از تعداد مرکز تأسیس شده کاسته شده و در نتیجه تعداد نقاط حادثه دیده پوشش نیافته بیشتر شده و هزینه امدادرسانی افزایش می‌یابد.

برای مطالعات آتی موارد زیر پیشنهاد می‌گردد:

- در نظر گرفتن پنجره زمانی برای خون می‌توان سطح تأمین‌کنندگان امدادی را به شبکه ارایه شده اضافه کرد.

- Nathalie, C. and Victor, C., (2019), "Including deprivation costs in facility location models for humanitarian relief logistics", *Socio-Economic Planning Sciences*, Vol.65, pp. 89–100.
- Noham R., and Tzur M., (2018), "Designing humanitarian supply chains by incorporating actual post-disaster decisions", *European Journal of Operational Research*, Vol. 265, No. 3, pp.1064-1077.
- Ni, W., Shu, J. and Song, M., (2018), "Location and Emergency Inventory Pre-Positioning for Disaster Response Operations: Min-Max Robust Model and a Case Study of Yushu Earthquake", *Production and Operation Management*; Vol.27, No.1, pp.160–183.
- Nikoo, N., Babaei, M. and Shariat-Mohaymany, A., (2018), "Emergency Transportation Network Design Problem: Identification and Evaluation of Disaster Response Routes", *International Journal of Disaster Risk Reduction*, vol.27, pp.7-20.
- Tavana, M., Abtahi, A.R, Di Caprio, D., Hashemi, R. and Yousefi-Zenouz, R., (2018), "An integrated location-inventory-routing humanitarian supply chain network with pre- and post-disaster management considerations", *Socio-Economic Planning Sciences*, Vol. 64, pp.21-37.
- Taguchi, G., Chowdhury, S. and Wu, Y. (2005), "Taguchi's quality engineering handbook", Wiley Publishing.
- Tavakkoli-Moghaddam, R. and Raziei, Z. (2016), "A New Bi-Objective Location-Routing-Inventory Problem with Fuzzy Demands", *IFAC*, Vol.49, No.12, pp.1116 – 1121.
- “The Study on Seismic Microzoning of the Greater Tehran Area in the Islamic Republic of Iran”, (2000). Japan International Cooperation Agency (JICA).
- Zokaei, S., Bozorgi-Amiri, A. and Sadjadi, S.J. (2016), "A Robust Optimization Model for Humanitarian Relief Chain Design under Uncertainty", *Applied Mathematical Modelling*, Vol.40, No.17–18, pp.7996-8016.
- Golabi, M., Shavarani, S.M. & Izbirak, G., (2017), "An edge-based stochastic facility location problem in UAV-supported humanitarian relief logistics: a case, study of Tehran earthquake", *Natural Hazards*, Vol.87, No.3, pp. 1545–1565.
- Habibi, M., Paydar, M.M. and AsadiGangraj, E., (2018), "Designing a bi-objective multi-echelon robust blood supply chain in a disaster", *Applied Mathematical Modelling*, Vol. 55, pp. 583-599.
- Hasani, A. and Mokhtari, H., (2018), "Redesign strategies of a comprehensive robust relief network for disaster management", *Socio-Economic Planning sciences*, vol.64, pp. 92-102..
- Jafarkhan, F. and Yaghoubi, S., (2019), "An efficient solution method for the flexible and robust inventory-routing of red blood cells", *Computers & Industrial Engineering*, vol.117, pp.191-206.
- Karimkashi, S. & Kishk, A. A., (2010), "Invasive weed optimization and its features in electromagnetics", *IEEE transactions on antennas and propagation*, vol.58, No.4, pp.1269-1278.
- Karaoğlan, I., Erdoğan, G. and Koç, Ç., (2018), "The Multi-Vehicle Probabilistic Covering Tour Problem", *European Journal of Operational Research*, Vol.271, No.1, pp.278-287.
- Mavrotas, G., (2009), "Effective implementation of the  $\epsilon$ -constraint method in multi-objective mathematical programming problems", *Applied mathematics and computation*, Vol. 213, pp.455-465.
- Mehrabian, A. R. and Lucas, C., (2006), "A novel numerical optimization algorithm inspired from weed colonization", *Ecological informatics*, Vol.1, No.4, pp. 355-366.
- Moreno, A., Alem, D., Ferreira, D. and Clark, a., (2018), "A mathematical model for efficient emergency transportation in a disaster situation", *American Journal of Emergency Medicine*, Vol.36, No.9, pp. 1585-1590.

# **Presenting an Integrated Multi-Objective Model for Location-Routing and Inventory of Relief Facilities, Considering Several Modes of Transport and Covering Tour**

*Esfandyar Ataei, Department of Industrial Engineering, Payame Noor University, Tehran, Iran.*

*Ramin Sadeghian, Department of Industrial Engineering, Payame Noor University, Tehran, Iran.*

*Maryam Hamedi, Department of Industrial Engineering, Payame Noor University, Tehran, Iran.*

*E-mail: ataei56@gmail.com*

Received: January 2020-Accepted: July 2020

## **ABSTRACT**

One of the most important parts when any accident occurs is the issue of control and management before and after the disaster, and if this issue is not taken into account, another secondary catastrophe will occur within the main catastrophe. Therefore, in this study, a random integrated model is proposed. In which two categories of decisions are considered; decisions of the first stage of determining and controlling the inventory of distribution centers and location of distribution centers for pre-disaster and decisions of the second stage for post-disaster, including reviewing the flow of injured, Corpses, homeless and relief items in the network and the allocation of vehicles for this flow. Objectives of this paper include (1) maximizing the probability of successful passage of routes by increasing the reliability of routes, (2) minimizing relief costs pre-disaster and post-disaster, by considering the time window, (3) Minimize maximum uncovered demand for relief goods, for all centers in possible scenarios and situations. Considering the scenario uncertainty situation along with the uncertainty of the route and demand, multi-commodity, several modes of transportation and covering tour are among the innovations of this research. To validate the proposed model in small and medium dimensions, Epsilon restriction method in Gams software environment and for case study (Region 1 of Tehran) in large dimensions has been solved using Invasive Weed Optimization algorithm. The results of the analysis indicate that the Invasive Weed Optimization algorithm will be able to solve the model with the least error compared to the exact solution and less time. Also, as the capacity of distribution centers increases, the cost decreases and as demand increases, the number of established distribution centers increases, and as the coverage radius increases, the length of the tour decreases but the number of unoccupied accident hotspots increases and relief costs, including transportation costs, increase.

**Keywords:** Location, Routing, Covering Tour, Mode of Transport, Time Window